

بررسی مقایسه عملکرد مدل‌های یادگیری عمیق و شبکه عصبی کانولوشن به منظور مدل‌سازی طوفان‌های گردوغبار (مطالعه موردی: استان کرمانشاه)

محمد انصاری قوچقار^۱

تاریخ پذیرش: ۱۴۰۴/۰۲/۰۷

تاریخ دریافت: ۱۴۰۳/۱۰/۲۰

چکیده

شناخت عوامل مؤثر بر وقوع طوفان‌های گردوغبار و آگاهی از زمان و مکان وقوع این طوفان‌ها، نقش بسزایی در مدیریت و کاهش خسارات ناشی از آن‌ها دارد؛ اما اغلب، محدودیت‌هایی مانند کمبود منابع، هزینه‌های زیاد و صرف زمان زیاد پایش و بررسی مانع از مدیریت صحیح می‌شود. لذا استفاده از مدل‌های یادگیری عمیق، الگوریتم‌های هوش مصنوعی و شبکه‌های عصبی، گام مهمی در راستای پیش‌بینی و مدیریت یکپارچه این پدیده اقلیمی مخرب به شمار می‌رود. بدین ترتیب، این پژوهش به بررسی نتایج مدل‌سازی طوفان‌های گردوغبار با استفاده از مدل‌های یادگیری عمیق و شبکه عصبی کانولوشن در نه ایستگاه هواشناسی سینوپتیک استان کرمانشاه شامل قصر شیرین، گیلانغرب، سریل ذهاب، اسلام‌آباد غرب، جوانرود، سرازرو، روانسر، هرسین و کنگاور، در طول دوره آماری ۴۰ ساله پرداخته است. در این راستا، دو مدل محاسباتی یادگیری عمیق و شبکه عصبی کانولوشن به منظور پیش‌بینی شاخص FDSD توسعه یافته و مورد مقایسه قرار گرفتند. نتایج حاکی از وجود تفاوت قابل ملاحظه‌ای در دقت روش‌های مورد بررسی بود. مدل DL با کمترین مقدار معیارهای خطای MAE و RMSE، عملکرد بهتری را نسبت به مدل CNN نشان داد؛ به طوری که ضرایب نش-ساتکلیف و همبستگی آن به ترتیب از ۰/۹۳۹ و ۰/۹۷۱ تا ۰/۹۲۸ و ۰/۹۵۳ متغیر بود. هر دو مدل بهترین عملکرد خود را در گام‌های اول و دوم نشان دادند. ایستگاه قصر شیرین با بیشترین مقدار متوسط روزهای همراه با طوفان‌های گردوغبار، بیشترین دقت را نشان داد. نتایج این مطالعه می‌تواند نقش مهمی در زمینه مدل‌سازی طوفان‌های گردوغبار و اتخاذ تصمیم‌های مدیریتی لازم به منظور کاهش خسارات این پدیده داشته باشد.

کلیدواژه‌ها: پیش‌بینی، الگوریتم‌های فرآکاوشی، طوفان‌های گردوغبار، DL، شاخص FDSD

۱. استادیار، گروه مهندسی احیای مناطق خشک و کوهستانی، دانشکده منابع طبیعی، دانشگاه تهران، کرج، ایران. Ansari.ghojghar@ut.ac.ir

مقدمه

مقیاس‌های منطقه‌ای و جهانی، چرخه‌های محیط‌زیستی و اقلیمی را مختل می‌کنند. این ذرات با تأثیر بر تعادل تابشی میان سطح زمین و جو، نقش مهمی در تشدید گرمایش جهانی و تغییرات اقلیمی ایفا می‌کنند. پدیده گردوغبار در ایران پیامدهای گسترده‌ای دارد که شامل افزایش بیماری‌های ریوی، اختلال در فعالیت‌های روزمره، کاهش بهره‌وری اقتصادی و تخریب محیط‌زیست است. یکی از رویکردهای اساسی در مدیریت بحران‌های ناشی از گردوغبار، پیش‌بینی دقیق وقوع طوفان‌های گردوغبار است. از این‌رو، مدل‌سازی و پیش‌بینی دقیق آن‌ها می‌تواند نقش بسزایی در کاهش اثرات مخرب داشته باشد. مدل‌سازی این طوفان‌ها به مدیران و سیاست‌گذاران این امکان را می‌دهد که پیش از بروز بحران، اقداماتی همچون صدور هشدارهای بموقع، تخصیص منابع مناسب و اجرای اقدامات کاهش اثرات را به‌طور مؤثر انجام دهن. با توجه به پیچیدگی و عدم قطعیت‌های موجود در رخداد طوفان‌های گردوغبار، استفاده از روش‌های مدل‌سازی پیشرفته، ابزاری ضروری برای بهبود مدیریت و کاهش پیامدهای این پدیده است (بسالت‌پور و همکاران، ۲۰۱۳). ارجمندی و همکاران (۲۰۲۴) به پیش‌بینی غلط‌گردوغبار در مقیاس آزمایشگاهی با استفاده از فناوری‌های پردازش تصویر و هوش مصنوعی پرداختند. در مطالعه آنان مدل‌های مختلف شبکه عصبی مصنوعی پرسپترون چندلایه بررسی و مشخص شد که مدل با ساختار ۱۰-۸-۱ با تابع فعال‌سازی تنسیگ در لایه‌های پنهان و خروجی دارای بیشترین دقت ۸۱/۹۳ (درصد) است. یافته‌های تحقیق حاضر قابلیت فناوری‌های پردازش تصویر و هوش مصنوعی در پیش‌بینی غلط‌گردوغبار با دقت زیاد و هزینه کم را نشان می‌دهد. یارمحمدی و همکاران (۲۰۲۳) به پیش‌بینی مسیرهای انتقال طوفان‌های گردوغبار با استفاده از شبکه عصبی کانولوشن و زمینه جغرافیایی برای سازگاری و کاهش اثرات در مناطق شهری پرداختند. نتایج نشان داد که مدل شبکه عصبی کانولوشن توانایی بالایی در پیش‌بینی مسیر انتقال طوفان‌های گردوغبار دارد. سبحانی و همکاران (۲۰۲۰) به مدل‌سازی و پیش‌بینی گردوغبار در غرب ایران پرداختند. براساس نتایج خروجی مدل شبکه عصبی- مصنوعی RBF در پیش‌بینی گردوغبار برای

گردوغبار به‌عنوان یکی از پدیده‌های رایج در اکوسيستم‌های بیابانی، یکی از چالش‌های جدی محیط‌زیستی محسوب می‌شود. این پدیده سالانه اثرات مخربی بر سلامت و معیشت ساکنان این مناطق به جا می‌گذارد و خسارت‌های قابل توجهی به بخش‌های مختلف اقتصادی، اجتماعی و زیست‌محیطی وارد می‌کند (نیر و همکاران، ۲۰۲۳) و زمانی رخ می‌دهد که سرعت باد در این اکوسيستم‌ها از حد آستانه فراتر رود و درنتیجه، ذرات شن و غبار از سطح خشک زمین جدا شده و به حرکت درمی‌آیند. در اکوسيستم‌های بیابانی، طوفان‌های شن و گردوغبار معمولاً به‌دلیل جریان‌های بادی ناشی از طوفان‌های تندری یا به‌واسطه گرادیان‌های شدید فشاری که باعث افزایش سرعت باد در محدوده‌های گسترده می‌شوند، شکل می‌گیرند. عوامل متعددی نظیر خشکی سطح زمین، شدت وزش باد، و شرایط سینوپتیکی در شکل‌گیری و گسترش این پدیده نقش دارند (خسروی و همکاران، ۲۰۲۰). طبق تعریف سازمان هواشناسی جهانی (لویی^۱ و همکاران، ۲۰۱۷)، طوفان‌های گردوغبار اغلب براثر وزش بادهای شدید و متلاطم رخ می‌دهند که موجب انتقال حجم قابل توجهی از ذرات گردوغبار از سطوح بیابانی به هوا می‌شوند. این پدیده با گسترش گردوغبار در مناطق وسیع، دید افقی را به کمتر از ۱۰۰۰ متر کاهش می‌دهد. به‌طور مشخص، هرگاه سرعت باد در یک ایستگاه از ۲۱ متر بر ثانیه فراتر رود و کاهش دید افقی ناشی از گردوغبار به زیر یک کیلومتر بر سد، وقوع طوفان گردوغبار گزارش می‌شود (امیدوار، ۲۰۲۲). طوفان‌های گردوغبار به‌عنوان یکی از پدیده‌های جویی با اثرات گسترده زیست‌محیطی و بهداشتی، چالشی جدی در مدیریت منابع طبیعی و سلامت عمومی به شمار می‌روند (گودی و میدلون، ۲۰۰۶). ایران به‌دلیل قرارگیری در کمرنگ بیابانی جهان و موقعیت جغرافیایی خود در مناطق خشک و نیمه‌خشک، همچنین هم‌جواری با منابع عمدۀ گردوغبار مانند بیابان‌های عراق، عربستان و سوریه، با این چالش مواجه است (انصاری قوچقار و همکاران، ۲۰۲۱). افزون بر اثرات محلی، طوفان‌های گردوغبار با انتقال ذرات به

1. Lu

2. Goudie & Middleton

استخراج الگوهای پیچیده و غیرخطی، و دقت بالا در پیش‌بینی، یک تحول قابل توجه در علوم زیست‌محیطی محسوب می‌شود. این فناوری با تحلیل هم‌زمان داده‌های مکانی و زمانی، روابط پنهان میان عوامل مؤثر بر طوفان‌ها را کشف کرده و پیش‌بینی دقیق شدت، مسیر و گسترش این پدیده‌ها را ممکن می‌سازد. همچنین، یادگیری عمیق با قابلیت انطباق با داده‌های متنوع مانند تصاویر ماهواره‌ای و سنجش از دور، ابزار قدرتمندی برای مدل‌سازی و مدیریت ریسک‌های مرتبط با طوفان‌های گردوغبار فراهم می‌کند. مدل‌سازی طوفان‌های گردوغبار با استفاده از شبکه‌های عصبی کانولوشن به‌دلیل توانایی بررسی در تحلیل داده‌های مکانی و تصویری، یک رویکرد پیشرفته و کارآمد محسوب می‌شود. این الگوریتم با معماری سلسله‌مراتبی خود قادر است ویژگی‌های کلیدی را در سطوح مختلف داده‌ها، از جزئی ترین الگوها تا ساختارهای پیچیده‌تر شناسایی کند. با استفاده از داده‌های ماهواره‌ای و نقشه‌های سنجش از دور، CNN می‌تواند توزیع مکانی طوفان‌ها، شدت و مسیر حرکت آن‌ها را با دقت بالایی پیش‌بینی کند. یکی از مزایای مهم این روش، کاهش نیاز به پیش‌پردازش دستی داده‌ها از طریق یادگیری خودکار ویژگی‌ها است که منجر به ساده‌تر شدن فرایند مدل‌سازی و افزایش سرعت و دقت آن می‌شود. توانایی شبکه‌های عصبی کانولوشن در پردازش داده‌های حجمی و استخراج الگوهای غیرخطی، آن را به ابزاری مؤثر برای مدیریت ریسک و طراحی سیستم‌های هشدار طوفان‌های گردوغبار تبدیل کرده است.

مواد و روش‌ها

منطقه مورد مطالعه

در این پژوهش به مقایسه عملکرد مدل‌های یادگیری عمیق و شبکه‌های عصبی کانولوشن به‌منظور مدل‌سازی طوفان‌های گردوغبار در نه ایستگاه هواشناسی استان کرمانشاه (قصر شیرین، گیلان غرب، سرپل ذهاب، اسلام‌آباد غرب، جوانرود، سرارود، روانسر، هرسین و کنگاور)، در طول دوره آماری ۴۰ ساله (۱۹۸۱-۲۰۲۰) پرداخته شده است. بدین منظور از داده‌های ساعتی قدرت دید افقی و کدهای سازمان جهانی هواشناسی استفاده شده است. مشاهده‌های پدیده‌های

سال‌های آتی ایستگاه‌های مورد مطالعه، در هر دو مقیاس میانگین و حداقل فراوانی گردوغبار، ایستگاه‌های غربی و جنوب غربی منطقه مورد پژوهش، بیشتر در معرض گردوغبار در سال‌های آینده قرار گرفتند. در دهه‌های اخیر، توسعه روش‌های یادگیری عمیق، بهویژه شبکه‌های عصبی کانولوشن، فرصت‌های جدیدی را برای مدل‌سازی پدیده‌های پیچیده جویی فراهم کرده است. این روش‌ها با بهره‌گیری از قابلیت‌های پردازش داده‌های حجمی و شناسایی الگوهای نهفته در آن‌ها، به‌طور گسترده‌ای در مدل‌سازی پدیده‌های هواشناسی به کار گرفته شده‌اند (شی^۱ و همکاران، ۲۰۱۵). شبکه‌های عصبی کانولوشن، به‌دلیل ساختار خاص خود در استخراج ویژگی‌های مکانی و زمانی، ابزار مناسبی برای تحلیل داده‌های چندبعدی و پیچیده مانند داده‌های مربوط به طوفان‌های گردوغبار به شمار می‌روند (لوکن^۲ و همکاران، ۲۰۱۵؛ بولانژ^۳ و همکاران، ۲۰۲۱). از بررسی پژوهش‌های مختلف چنین برمری آید که برای مدل‌سازی دقیق شاخص فراوانی روزهای همراه با طوفان‌های گردوغبار که یکی از مهم‌ترین چالش‌های مدیریت محیط‌زیست محسوب می‌شود، روش‌های چندانی وجود نداشته و همین روش‌های اندک نیز با دارا بودن معایبی، از دقت بالایی برای پیش‌بینی شاخص FDSD برخوردار نیستند. ازوی دیگر، بیشتر مطالعات به مدل‌سازی شاخص فراوانی طوفان‌های گردوغبار با استفاده از مدل‌های یادگیری ماشین پرداخته‌اند و از یادگیری عمیق کمتر مورد استفاده قرار گرفته است. شبکه عصبی کانولوشن اغلب به‌منظور پردازش تصویر و مدل‌سازی تصاویر استفاده شده، اما در پژوهش حاضر، از مدل CNN برای مدل‌سازی طوفان‌های گردوغبار استفاده شده و نتایج آن با مدل یادگیری عمیق تحت مقایسه قرار گرفته است. لذا در پژوهش حاضر، برای رفع چالش‌ها و کمبودهای موجود، به بررسی عملکرد مدل‌های یادگیری عمیق و شبکه عصبی کانولوشن برای مدل‌سازی طوفان‌های گردوغبار پرداخته شده است. مدل‌سازی طوفان‌های گردوغبار با استفاده از یادگیری عمیق (DL) به‌دلیل توانایی پردازش داده‌های حجمی و چندبعدی،

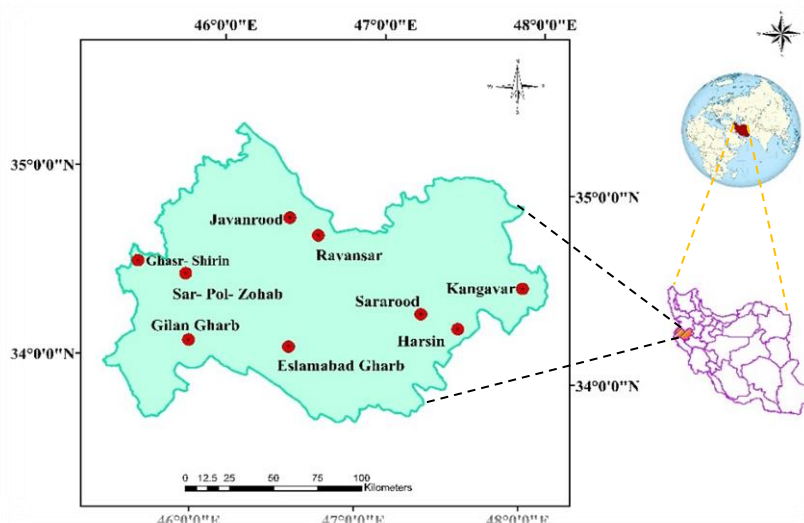
1. Shi

2. LeCun

3. Boulanger

گردوغبار روزی است که در آن، حداقل در یکی از هشت سینوپ، یکی از کدهای مرتبط با گردوغبار $06, 07, 08, 09, 30, 31, 32, 33, 34, 35$ و 98) در بخش گزارش هوای حاضر اعلام شده باشد. مشروط بر اینکه داده‌های قدرت دید افقی متانظر با کد اعلام شده، در کمتر از 1000 متر ثبت شده باشد (گودی و همکاران، 2006). لذا در این مطالعه، به منظور تشخیص طوفان‌های گردوغبار، از مؤلفه دید افقی کمتر از 1000 متر برای تمامی کدهای گردوغبار استفاده شده است.

هواشناسی هر سه ساعت یک بار و در مجموع در هشت سینوپ در طول شباه روز ثبت می‌شوند. در این مشاهدات، پدیده‌های بصری آب و هوای طبق دستورالعمل سازمان جهانی هواشناسی در 100 کد از 00 تا 99 تعریف شده‌اند. از مجموع این 100 کد، به‌طور کلی 11 کد (جدول ۱)، برای ثبت و گزارش پدیده گردوغبار در ایستگاه‌های مختلف هواشناسی استفاده می‌شود (اولوینگسای^۱ و همکاران، 2014). براساس تعریف سازمان جهانی هواشناسی، روز همراه با طوفان‌های



شکل (۱): معرفی ایستگاه‌های مورد مطالعه در پژوهش حاضر
Figure (1): Introduction of the studied stations in the present study

جدول (۱): کدهای سازمان جهانی هواشناسی مرتبط با فرسایش بادی و پدیده‌های گردوغبار (اولوینگسای و همکاران، 2014)

Table (1): World Meteorological Organization (WMO) codes related to wind erosion and dust phenomena (O'Loingsigh et al., 2014)

کد	توضیحات
.۶	رخداد طوفان گرد و خاک گسترشده در خارج از ایستگاه هواشناسی
.۷	خاک یا شن برخاسته از زمین در محدوده ایستگاه هواشناسی
.۸	مشاهده گردباد در محدوده ایستگاه هواشناسی یا خارج از آن طی ساعت‌های دیدبانی یا ساعت گذشته
.۹	طوفان شن یا خاک در زمان دیدبانی در خارج از ایستگاه یا طی ساعت گذشته در محدوده ایستگاه هواشناسی
۳۰	طوفان خفیف یا متوسط شن یا خاک با روند کاهشی طی ساعت گذشته- با سرعت باد 15 متر بر ثانیه یا بیشتر- کاهش میدان دید به کمتر از 1000 ولی بیشتر از 200 متر
۳۱	طوفان خفیف یا متوسط شن یا خاک بدون تغییر شدت طی ساعت گذشته- با سرعت باد 15 متر بر ثانیه یا بیشتر- کاهش میدان دید به کمتر از 1000 ولی بیشتر از 200 متر
۳۲	طوفان خفیف یا متوسط شن یا خاک با افزایش شدت طی ساعت گذشته- با سرعت باد 15 متر بر ثانیه یا بیشتر- کاهش میدان دید به کمتر از 1000 ولی بیشتر از 200 متر
۳۳	طوفان شدید شن یا خاک همراه با روند کاهشی طی ساعت گذشته- سرعت باد 15 متر بر ثانیه یا بیشتر- کاهش دید کمتر از 200 متر
۳۴	طوفان شدید شن یا خاک همراه بدون تغییر شدت طی ساعت گذشته- سرعت باد 15 متر بر ثانیه یا بیشتر- کاهش دید کمتر از 200 متر
۳۵	طوفان شدید شن یا خاک همراه با افزایش شدت طی ساعت گذشته- سرعت باد 15 متر بر ثانیه یا بیشتر- کاهش دید کمتر از 200 متر
۹۸	رعد و برق- بدون بارش- همراه با طوفان شن یا خاک (هیوب)

شبکه عصبی کانولوشن (CNN)

این مدل که نوعی شبکه عصبی مصنوعی محسوب می‌شود، برای نخستین بار توسط لوکن و همکاران (۱۹۸۹) معرفی و سپس در سال ۲۰۱۲ توسط کریزفسکی و همکاران توسعه داده شد. این مدل در پردازش تصاویر عملکرد بسیار موفقی داشته (کریزفسکی و همکاران، ۲۰۱۲) و همچنین برای تحلیل داده‌های سری زمانی نیز کاربرد مناسبی دارد (دو^۷ و همکاران، ۲۰۱۹). یکی از مهم‌ترین مزایای این شبکه عصبی، توانایی آن در شناسایی خودکار ویژگی‌های کلیدی بدون نیاز به دخالت انسانی است (الزوییدی^۸ و همکاران، ۲۰۲۱). شبکه‌های عصبی کانولوشن بهدلیل توانایی در کاهش پارامترها، استخراج خودکار ویژگی‌های معنادار و تعمیم‌پذیری بالا، از سایر روش‌های یادگیری عمیق متمایزند. این روش‌ها به‌طور گسترده در حوزه‌هایی مانند بینایی ماشین،^۹ پردازش تصاویر^{۱۰} و تحلیل داده‌های پیچیده به کار گرفته‌اند و با بهره‌گیری از ساختار سلسله‌مراتبی،^{۱۱} امکان شناسایی دقیق‌تر و کارآمدتر ویژگی‌ها را فراهم می‌کنند. ساختار طراحی شده برای CNN شامل لایه ورودی،^{۱۲} چندلایه پنهان^{۱۳} (لایه کانولوشن)،^{۱۴} آهالوات و همکاران،^{۲۰۲۰} لایه ادغام^{۱۵} (لیو^{۱۶} و همکاران، ۲۰۲۰) و لایه اتصال کامل (آلایی و همکاران، ۲۰۱۷) و لایه خروجی^{۱۷} است (فن^{۱۸} و همکاران، ۲۰۲۰). نحوه عملکرد هر لایه کانولوشن بدین صورت است که خروجی ماتریس داده‌های لایه قبلی در ماتریس ضرایب وزنی ضرب می‌شود، سپس ماتریس بایاس به آن اضافه می‌گردد و درنهایت، تابع فعال‌سازی^{۱۹} بر آن اعمال می‌شود.

مدل‌های پیش‌بینی

بهمنظور پیش‌بینی کمی فراوانی روزهای همراه با طوفان

یادگیری عمیق^۱ (DL)

یادگیری عمیق یکی از شاخه‌های تخصصی یادگیری ماشین^۲ است و در حل مسائل پیچیده از طریق استفاده از شبکه‌های عصبی^۳ بسیار مؤثر است. هدف آن استفاده از ساختارهای سلسله‌مراتبی برای استخراج ویژگی‌ها و انتزاعات پیچیده از داده‌های است. این حوزه به عنوان یک رویکرد نوظهور در سال‌های اخیر مورد توجه قرار گرفته و در زمینه‌های مختلفی از هوش مصنوعی^۴ به‌طور گسترده‌ای مورد استفاده قرار می‌گیرد (نیر و همکاران، ۲۰۲۳). این روش با به کارگیری مدل‌های محاسباتی چندلایه که قادر به پردازش داده‌ها در سطوح مختلف هستند، فرایند یادگیری را به‌طور چشمگیری ارتقا می‌دهد (لوکن و همکاران، ۲۰۱۵؛ شی و همکاران، ۲۰۱۵). مدل‌های یادگیری عمیق، نظری شبکه‌های عصبی مصنوعی عمیق، به‌دلیل توانایی بالای خود در شناسایی الگوهای ساختارهای پنهان در داده‌های وسیع، از سایر روش‌ها متمایز می‌شوند. در این شبکه‌ها، هر لایه مفهومی را یاد می‌گیرد که در لایه‌های بعدی اصلاح و گسترش می‌یابد و این فرایند به تدریج مفاهیم ابتدایی را به مفاهیم انتزاعی پیچیده‌تر تبدیل می‌کند (روسک،^۵ لوبی و همکاران، ۲۰۱۷). ساختار شبکه‌های یادگیری عمیق متشکل از چندین لایه از گره‌های متصل به یکدیگر است که هر لایه پیچیدگی پیش‌بینی‌ها و طبقه‌بندی‌ها را افزایش می‌دهد. به‌طور کلی، اجزای اصلی یادگیری عمیق شامل شبکه‌های عصبی، لایه‌ها، گره‌ها، توابع فعال‌سازی، وزن‌ها، بایاس‌ها، روش‌های بهینه‌سازی و شبکه‌های عصبی عمیق هستند. توابع فعال‌سازی با معرفی ویژگی غیرخطی بودن، به شبکه عصبی این امکان را می‌دهند که الگوها و روابط پیچیده موجود در داده‌ها را یاد بگیرد. یکی از مزایای کلیدی یادگیری عمیق، استقلال آن از پردازش‌های پیشین داده‌های است، چراکه این مدل به‌طور خودکار ویژگی‌ها را مستقیماً از داده‌ها استخراج کرده و می‌آموزد (روسک، ۲۰۱۶؛ کریزفسکی^۶ و همکاران، ۲۰۱۷).

7. Du

8. Alzubaidi

9. Machine Vision

10. Image Processing

11. Hierarchical Structure

12. Input Layer

13. Hidden Layer

14. Convolutional Layer

15. Pooling Layer- Subsampling

16. Liao

17. Output Layer

18. Fan

19. Activation Function

1. Deep Learning

2. Machine learning

3. Neural Network

4. Artificial Intelligence

5. Rusk

6. Krizhevsky

$$MAE = \frac{1}{n} \sum_{i=1}^n |O_i - f_i| \quad (3)$$

$$R = \frac{\frac{1}{n} \sum_{i=1}^n (O_i - \bar{O})(f_i - \bar{f})}{\sqrt{\frac{1}{n} \sum_{i=1}^n (O_i - \bar{O})^2} \sqrt{\frac{1}{n} \sum_{i=1}^n (f_i - \bar{f})^2}} \quad (4)$$

در رابطه‌های ۱ تا ۴ مقادیر مشاهده شده در زمان t f_i مقادیر پیش‌بینی شده در زمان \bar{t} میانگین مقادیر پیش‌بینی شده، \bar{O} میانگین مقادیر مشاهده شده و n تعداد داده‌هast است. بر این اساس، مدلی که MAE و $RMSE$ کمتری و همچنین R و NS نزدیک به واحد داشته باشد، کارایی و مطلوبیت بیشتری در حوزه مدل نظر پژوهشگر دارد.

۳. نتایج و بحث

شاخص‌های ارزیابی R , $RMSE$ و MAE به‌منظور بررسی و مقایسه عملکرد مدل یادگیری عمیق و الگوریتم شبکه عصبی کانولوشن به‌منظور مدل‌سازی طوفان‌های گردوغبار در استان کرمانشاه در طول دوره آماری ۴۰ ساله (۱۹۸۰-۲۰۲۰) استفاده شده است. در جداول ۲ و ۳، به‌ترتیب، مقادیر معیارهای ارزیابی مرتبط با مراحل آموزش و آزمون الگوریتم شبکه عصبی کانولوشن و مدل یادگیری عمیق برای پیش‌بینی شاخص فراوانی روزهای همراه با طوفان گردوغبار در نه ایستگاه هواشناسی سینوپتیک قصر شیرین، گیلان غرب، سرپل ذهاب، اسلام‌آباد غرب، جوانرود، سرارود، روانسر، هرسین و کنگاور، نشان داده شده است. در این جداول، معیارهای ارزیابی در ۴ ترکیب برای هریک از مدل‌های یادشده مورد بررسی قرار گرفته است. با توجه به جدول ۲ و شاخص‌های ارزیابی استفاده شده، می‌توان به این نتیجه رسید که تمامی ایستگاه‌های مورد بررسی، در ترکیب‌های اول و دوم عملکرد بهتری را نسبت به سایر ترکیب‌ها نشان می‌دهند. لذا به کارگیری یک و نهایتاً دو فصل قبل برای مدل‌سازی طوفان‌های گردوغبار در تمامی ایستگاه سبب بهبود عملکرد مدل‌سازی می‌شود. در این میان، ترکیب شماره یک به عنوان ترکیب بهیته برای مدل‌سازی شاخص $FDSD$ با الگوریتم شبکه عصبی کانولوشن انتخاب شده است. با توجه به نتایج مدل‌سازی طوفان‌های گردوغبار در ایستگاه قصر شیرین (با بیشترین فراوانی روزهای همراه با طوفان گردوغبار در مقیاس فصلی) با ایستگاه کنگاور (با کمترین فراوانی فصلی)، می‌توان نتیجه گرفت که هرچه از تعداد روزهای گردوغباری در ایستگاه‌های مورد بررسی کاسته می‌شود، پیشروی از ایستگاه

گردوغبار، از مدل‌های یادگیری عمیق و الگوریتم شبکه عصبی کانولوشن استفاده شده است. نتایج مدل‌سازی با معیارهای R , $RMSE$ و NS مورد ارزیابی قرار گرفته است. متغیر مد نظر در پژوهش حاضر، تعداد فصل‌های گذشته برای مدل‌سازی فصل‌های آتی است. تعداد فصول قابل پیش‌بینی می‌تواند شامل یک، دو، سه و چهار فصل قبل تر از متغیر $FDSD$ باشد. برای پیش‌بینی شاخص $FDSD$ در مدل شماره یک در فصل بعدی، از سری زمانی فراوانی روزهای همراه با طوفان گردوغبار با یک گام تأخیر استفاده شده است. به عبارت دیگر، برای پیش‌بینی در زمان $t+1$ ، از مقدار آن در زمان t استفاده شده است. در مدل شماره دو، پیش‌بینی در فصل بعدی با استفاده از مقادیر $FDSD$ تا دو فصل قبلی آن صورت گرفته است. در مدل‌های ۳ و ۴ نیز پیش‌بینی‌ها براساس مقادیر $FDSD$ در سه و چهار فصل قبل انجام شده است. روابط زیر، پیش‌بینی‌های انجام شده در مدل‌های یک تا چهار را نمایش می‌دهد. همچنین به‌منظور مدل‌سازی ۸۰ درصد داده‌ها برای آموزش و ۲۰ درصد نیز به‌منظور تست مورد استفاده قرار گرفت.

$$\text{مدل } FDSD_{(t+1)} = f(FDSD_{(t)}) \quad (1)$$

$$\text{مدل } FDSD_{(t+1)} = f(FDSD_{(t)}, FDSD_{(t-1)}) \quad (2)$$

$$\text{مدل } FDSD_{(t+1)} = f(FDSD_{(t)}, FDSD_{(t-1)}, FDSD_{(t-2)}) \quad (3)$$

$$\text{مدل } FDSD_{(t+1)} = f(FDSD_{(t)}, FDSD_{(t-1)}, FDSD_{(t-2)}, FDSD_{(t-3)}) \quad (4)$$

معیارهای ارزیابی

در پژوهش حاضر، به‌منظور ارزیابی دقت و کارایی مدل‌ها، از ضریب همبستگی^۱ (R), ریشه میانگین مربعات خطأ^۲ ($RMSE$), میانگین قدر مطلق خطأ^۳ (MAE) و ضریب نش-ساتکلیف^۴ (NS) براساس روابط زیر استفاده شده است. بهترین مقدار برای این چهار نمایه، به‌ترتیب، یک، صفر، صفر و یک است.

$$RMSE = \sqrt{\frac{1}{n} \sum_{i=1}^n (O_i - f_i)^2} \quad (1)$$

$$NS = 1 - \frac{\sum_{i=1}^n (O_i - f_i)^2}{\sum_{i=1}^n (O_i - \bar{O})^2} \quad (2)$$

1. Correlation
2. Root Mean Square Error
3. Mean Absolute Error
4. Nash- Sutcliffe

۰/۷۸۴ روز در گام اول افزایش یافته است. در ایستگاه‌های سرپل ذهاب، اسلام‌آباد غرب و جوانرود نیز مقدار معیارهای خطای پس از پیش‌بینی طوفان‌های گردوغبار با استفاده از فصل اول به جای فصل چهارم، به ترتیب از ۰/۳۵۳، ۰/۳۵۷ و ۰/۳۵۹ روز به ۰/۳۴۹، ۰/۳۵۴ و ۰/۳۵۸ روز کاهش یافته است. نتایج این قسمت با نتایج یارمحمدی و همکاران (۲۰۲۳) و خسروی و همکاران (۲۰۲۰) مطابقت دارد.

قصر شیرین به سمت کنگاور، دقت مدل‌سازی شاخص FDSD افزایش می‌یابد. همچنین با توجه به شرایط آب و هوایی در منطقه مورد مطالعه، تأثیر شاخص فراوانی روزهای همراه با طوفان گردوغبار در فصل‌های گذشته، ترکیب‌های سوم و چهارم در جدول ۲، آنچنان قابل قبول نیست. برای مثال در ایستگاه قصر شیرین، مقدار ضریب همبستگی و خطای نش-ساتکلیف به ترتیب از ۰/۷۶۵ و ۰/۷۸۳ روز در گام چهارم، به ۰/۷۸۸ و

جدول (۲): نتایج آماری داده‌های ورودی الگوریتم شبکه عصبی کانولوشن بهمنظور پیش‌بینی شاخص FDSD

Table (2): Statistical results of CNN model input patterns in predicting FDSD index

R	مجموعه داده آزمون			R	مجموعه داده آموزش			شماره	ایستگاه
	MAE	RMSE	NS		MAE	RMSE	NS		
۰/۷۶۸	۰/۳۰۳	۰/۳۴۳	۰/۷۸۴	۰/۷۹۱	۰/۲۸۷	۰/۳۲۱	۰/۷۹۷	۱	قصر شیرین
۰/۷۶۶	۰/۳۰۲	۰/۳۴۱	۰/۷۷۹	۰/۷۹۱	۰/۲۸۷	۰/۳۱۹	۰/۷۹۸	۲	
۰/۷۶۹	۰/۳۰۴	۰/۳۴۱	۰/۷۸۳	۰/۷۸۹	۰/۲۸۸	۰/۳۱۸	۰/۷۹۷	۳	
۰/۷۶۵	۰/۳۰۵	۰/۳۴۴	۰/۷۸۳	۰/۷۸۸	۰/۲۸۴	۰/۳۲۲	۰/۷۹۶	۴	
۰/۷۶۴	۰/۳۰۶	۰/۳۴۵	۰/۷۸۳	۰/۷۸۷	۰/۲۸۳	۰/۳۲۳	۰/۷۹۵	۱	گیلان غرب
۰/۷۶۳	۰/۳۰۷	۰/۳۴۶	۰/۷۷۹	۰/۷۸۶	۰/۲۸۹	۰/۳۳۴	۰/۷۹۴	۲	
۰/۷۶۳	۰/۳۰۲	۰/۳۴۷	۰/۷۸۲	۰/۷۸۵	۰/۲۸۹	۰/۳۲۵	۰/۷۹۳	۳	
۰/۷۶۲	۰/۲۹۹	۰/۳۴۸	۰/۷۸۱	۰/۷۸۴	۰/۲۸۹	۰/۳۲۶	۰/۷۹۲	۴	
۰/۷۶۲	۰/۲۹۷	۰/۳۴۹	۰/۷۷۹	۰/۷۸۷	۰/۲۹۱	۰/۳۲۷	۰/۷۹۱	۱	سرپل ذهاب
۰/۷۶۴	۰/۳۰۴	۰/۳۵۱	۰/۷۷۸	۰/۷۸۶	۰/۲۹۳	۰/۳۲۸	۰/۷۹۰	۲	
۰/۷۶۵	۰/۳۰۵	۰/۳۵۲	۰/۷۷۸	۰/۷۸۳	۰/۲۸۵	۰/۳۲۹	۰/۷۸۹	۳	
۰/۷۶۱	۰/۳۰۵	۰/۳۵۳	۰/۷۷۹	۰/۷۸۲	۰/۲۹۵	۰/۳۳۹	۰/۷۹۱	۴	
۰/۷۶۱	۰/۳۰۸	۰/۳۵۴	۰/۷۸۱	۰/۷۸۱	۰/۲۹۷	۰/۳۲۹	۰/۷۹۳	۱	اسلام‌آباد
۰/۷۵۹	۰/۳۰۹	۰/۳۵۵	۰/۷۸۲	۰/۷۸۱	۰/۲۹۸	۰/۳۳۱	۰/۷۸۹	۲	غرب
۰/۷۵۹	۰/۳۰۹	۰/۳۵۶	۰/۷۷۶	۰/۷۷۹	۰/۲۹۹	۰/۳۲۸	۰/۷۸۹	۳	
۰/۷۵۸	۰/۳۰۹	۰/۳۵۷	۰/۷۷۵	۰/۷۷۸	۰/۳۰۱	۰/۳۲۶	۰/۷۸۸	۴	
۰/۷۵۷	۰/۳۱۱	۰/۳۵۸	۰/۷۷۴	۰/۷۷۶	۰/۳۰۲	۰/۳۲۲	۰/۷۹۲	۱	جوانرود
۰/۷۵۶	۰/۳۱۲	۰/۳۵۹	۰/۷۷۳	۰/۷۷۵	۰/۲۹۴	۰/۳۳۴	۰/۷۹۴	۲	
۰/۷۵۵	۰/۳۱۳	۰/۳۵۹	۰/۷۷۳	۰/۷۷۴	۰/۲۹۹	۰/۳۳۳	۰/۷۸۹	۳	
۰/۷۵۴	۰/۳۱۳	۰/۳۵۹	۰/۷۷۳	۰/۷۷۳	۰/۳۰۴	۰/۳۳۵	۰/۷۸۷	۴	
۰/۷۵۴	۰/۳۱۴	۰/۳۶۱	۰/۷۷۲	۰/۷۷۲	۰/۳۰۵	۰/۳۳۷	۰/۷۸۶	۱	سرارود
۰/۷۵۳	۰/۳۱۴	۰/۳۶۲	۰/۷۷۴	۰/۷۷۱	۰/۳۰۶	۰/۳۳۹	۰/۷۸۵	۲	
۰/۷۵۲	۰/۳۱۶	۰/۳۶۳	۰/۷۷۵	۰/۷۷۰	۰/۳۰۷	۰/۳۴۱	۰/۷۸۵	۳	
۰/۷۵۵	۰/۳۱۷	۰/۳۶۴	۰/۷۸۱	۰/۷۸۹	۰/۳۰۸	۰/۳۴۲	۰/۷۸۴	۴	
۰/۷۵۱	۰/۳۱۸	۰/۳۶۵	۰/۷۷۳	۰/۷۷۱	۰/۳۹	۰/۳۴۳	۰/۷۸۴	۱	روانسر
۰/۷۴۹	۰/۳۱۹	۰/۳۶۶	۰/۷۷۲	۰/۷۷۳	۰/۳۱۱	۰/۳۴۴	۰/۷۸۷	۲	
۰/۷۵۰	۰/۳۲۱	۰/۳۶۷	۰/۷۷۱	۰/۷۷۲	۰/۳۱۲	۰/۳۴۵	۰/۷۸۸	۳	
۰/۷۴۸	۰/۳۲۲	۰/۳۶۸	۰/۷۷۱	۰/۷۶۸	۰/۳۱۴	۰/۳۴۶	۰/۷۸۶	۴	
۰/۷۴۷	۰/۳۲۳	۰/۳۶۹	۰/۷۶۹	۰/۷۶۸	۰/۳۱۷	۰/۳۴۷	۰/۷۸۶	۱	هرسین
۰/۷۴۷	۰/۳۲۴	۰/۳۷۱	۰/۷۶۸	۰/۷۶۸	۰/۳۱۹	۰/۳۴۸	۰/۷۸۵	۲	
۰/۷۴۷	۰/۳۲۵	۰/۳۷۲	۰/۷۷۰	۰/۷۶۷	۰/۳۲۱	۰/۳۴۹	۰/۷۸۵	۳	
۰/۷۴۶	۰/۳۲۱	۰/۳۷۳	۰/۷۶۷	۰/۷۶۷	۰/۳۲۲	۰/۳۵۱	۰/۷۸۴	۴	
۰/۷۴۵	۰/۳۲۶	۰/۳۷۴	۰/۷۶۶	۰/۷۶۶	۰/۳۲۳	۰/۳۵۲	۰/۷۸۳	۱	کنگاور
۰/۷۴۴	۰/۳۲۷	۰/۳۷۴	۰/۷۶۵	۰/۷۶۵	۰/۳۲۴	۰/۳۵۳	۰/۷۸۳	۲	
۰/۷۴۳	۰/۳۲۸	۰/۳۷۵	۰/۷۶۴	۰/۷۶۵	۰/۳۲۵	۰/۳۵۴	۰/۷۸۴	۳	
۰/۷۴۱	۰/۳۲۹	۰/۳۷۶	۰/۷۶۳	۰/۷۶۴	۰/۳۲۷	۰/۳۵۵	۰/۷۸۲	۴	

جدول (۳): نتایج آماری داده‌های ورودی مدل یادگیری عمیق به منظور پیش‌بینی شاخص FDSD

Table (2): Statistical results of DL model input patterns in predicting FDSD index

مجموعه داده آزمون				مجموعه داده آموزش				شماره	ایستگاه
R	MAE	RMSE	NS	R	MAE	RMSE	NS	ترکیب	
۰/۹۵۳	۰/۱۷۵	۰/۱۹۴	۰/۹۶۷	۰/۹۷۸	۰/۱۴۳	۰/۱۵۹	۰/۹۸۹	۱	قصر شیرین
۰/۹۵۲	۰/۱۷۶	۰/۱۹۴	۰/۹۶۶	۰/۹۸۱	۰/۱۴۴	۰/۱۵۵	۰/۹۸۸	۲	
۰/۹۵۱	۰/۱۷۷	۰/۱۹۵	۰/۹۶۹	۰/۹۷۸	۰/۱۴۵	۰/۱۵۴	۰/۹۹۱	۳	
۰/۹۵۱	۰/۱۷۸	۰/۱۹۶	۰/۹۷۱	۰/۹۷۹	۰/۱۴۶	۰/۱۵۶	۰/۹۹۳	۴	
۰/۹۴۹	۰/۱۷۸	۰/۱۹۶	۰/۹۶۶	۰/۹۷۹	۰/۱۴۶	۰/۱۵۶	۰/۹۸۷	۱	گیلان غرب
۰/۹۵۲	۰/۱۸۱	۰/۱۹۷	۰/۹۶۶	۰/۹۸۱	۰/۱۴۶	۰/۱۵۶	۰/۹۸۷	۲	
۰/۹۴۸	۰/۱۷۹	۰/۱۹۵	۰/۹۶۶	۰/۹۸۲	۰/۱۴۳	۰/۱۵۷	۰/۹۸۶	۳	
۰/۹۴۷	۰/۱۷۹	۰/۱۹۶	۰/۹۶۵	۰/۹۷۶	۰/۱۴۱	۰/۱۶۱	۰/۹۸۵	۴	
۰/۹۴۶	۰/۱۷۸	۰/۱۹۷	۰/۹۶۵	۰/۹۷۶	۰/۱۴۶	۰/۱۶۱	۰/۹۸۴	۱	سرپل ذهاب
۰/۹۴۵	۰/۱۸۲	۰/۱۹۷	۰/۹۶۴	۰/۹۷۶	۰/۱۴۷	۰/۱۶۲	۰/۹۸۳	۲	
۰/۹۴۴	۰/۱۸۳	۰/۱۹۸	۰/۹۶۴	۰/۹۷۵	۰/۱۴۸	۰/۱۶۳	۰/۹۸۳	۳	
۰/۹۴۳	۰/۱۸۴	۰/۱۹۹	۰/۹۶۴	۰/۹۷۹	۰/۱۴۹	۰/۱۶۴	۰/۹۸۳	۴	
۰/۹۴۲	۰/۱۸۵	۰/۱۹۴	۰/۹۶۶	۰/۹۸۱	۰/۱۴۹	۰/۱۶۵	۰/۹۷۹	۱	اسلام آباد
۰/۹۴۱	۰/۱۸۶	۰/۱۹۹	۰/۹۶۳	۰/۹۷۵	۰/۱۴۹	۰/۱۶۶	۰/۹۷۴	۲	غرب
۰/۹۵۲	۰/۱۷۹	۰/۱۹۷	۰/۹۶۲	۰/۹۷۴	۰/۱۵۱	۰/۱۶۷	۰/۹۷۹	۳	
۰/۹۵۷	۰/۱۷۹	۰/۱۹۹	۰/۹۶۱	۰/۹۷۳	۰/۱۵۳	۰/۱۶۸	۰/۹۷۸	۴	
۰/۹۵۳	۰/۱۸۵	۰/۱۹۹	۰/۹۶۷	۰/۹۷۳	۰/۱۴۸	۰/۱۶۹	۰/۹۷۸	۱	جوانرود
۰/۹۴۱	۰/۱۸۷	۰/۲۰۱	۰/۹۵۹	۰/۹۷۲	۰/۱۵۴	۰/۱۷۱	۰/۹۷۷	۲	
۰/۹۴۱	۰/۱۸۸	۰/۲۰۱	۰/۹۵۸	۰/۹۷۱	۰/۱۵۵	۰/۱۷۲	۰/۹۷۳	۳	
۰/۹۴۱	۰/۱۸۹	۰/۲۰۳	۰/۹۵۷	۰/۹۶۹	۰/۱۵۶	۰/۱۷۲	۰/۹۷۲	۴	
۰/۹۳۹	۰/۱۹۱	۰/۲۰۴	۰/۹۵۶	۰/۹۶۸	۰/۱۵۷	۰/۱۷۳	۰/۹۷۵	۱	سرارود
۰/۹۴۶	۰/۱۹۱	۰/۲۰۵	۰/۹۵۵	۰/۹۶۷	۰/۱۵۷	۰/۱۶۸	۰/۹۷۵	۲	
۰/۹۳۸	۰/۱۹۲	۰/۱۹۸	۰/۹۵۴	۰/۹۶۶	۰/۱۵۷	۰/۱۷۴	۰/۹۷۵	۳	
۰/۹۳۷	۰/۱۸۹	۰/۱۹۹	۰/۹۵۳	۰/۹۶۵	۰/۱۵۹	۰/۱۶۹	۰/۹۷۳	۴	
۰/۹۳۶	۰/۱۹۳	۰/۱۹۴	۰/۹۵۲	۰/۹۶۴	۰/۱۵۹	۰/۱۷۵	۰/۹۷۲	۱	روانسر
۰/۹۳۵	۰/۱۹۳	۰/۲۰۵	۰/۹۵۱	۰/۹۶۳	۰/۱۶۱	۰/۱۷۶	۰/۹۶۹	۲	
۰/۹۳۴	۰/۱۹۳	۰/۲۰۶	۰/۹۴۹	۰/۹۶۲	۰/۱۶۳	۰/۱۷۷	۰/۹۷۱	۳	
۰/۹۳۳	۰/۱۹۴	۰/۲۰۷	۰/۹۴۸	۰/۹۶۱	۰/۱۵۶	۰/۱۷۸	۰/۹۷۱	۴	
۰/۹۳۲	۰/۱۹۵	۰/۲۰۸	۰/۹۴۷	۰/۹۶۱	۰/۱۶۴	۰/۱۷۹	۰/۹۷۱	۱	هرسین
۰/۹۴۴	۰/۱۸۹	۰/۲۰۹	۰/۹۴۶	۰/۹۵۹	۰/۱۶۵	۰/۱۸۱	۰/۹۶۸	۲	
۰/۹۴۲	۰/۱۸۸	۰/۲۰۹	۰/۹۴۵	۰/۹۵۸	۰/۱۶۶	۰/۱۸۱	۰/۹۶۷	۳	
۰/۹۴۲	۰/۱۹۴	۰/۲۰۹	۰/۹۴۴	۰/۹۵۷	۰/۱۶۷	۰/۱۸۱	۰/۹۶۶	۴	
۰/۹۴۱	۰/۱۹۵	۰/۲۱۱	۰/۹۴۳	۰/۹۵۶	۰/۱۶۸	۰/۱۸۲	۰/۹۶۵	۱	کنگاور
۰/۹۳۰	۰/۱۹۵	۰/۲۱۳	۰/۹۴۲	۰/۹۵۵	۰/۱۶۹	۰/۱۸۳	۰/۹۶۴	۲	
۰/۹۲۹	۰/۱۸۹	۰/۲۱۳	۰/۹۴۱	۰/۹۵۴	۰/۱۷۱	۰/۱۸۴	۰/۹۶۳	۳	
۰/۹۲۸	۰/۱۹۷	۰/۲۱۷	۰/۹۳۹	۰/۹۵۴	۰/۱۷۳	۰/۱۸۵	۰/۹۶۳	۴	

فصل‌های بیشتر، مقادیر خطای MAE و RMSE روند افزایشی داشتند. برای مثال در ایستگاه‌های هرسین و کنگاور، مقدار مجدد مربعات خطای $۰/۲۰۹$ و $۰/۲۱۷$ در ترکیب فصلی چهارم، به $۰/۲۰۹$ و $۰/۲۱۳$ روز درنتیجه اعمال دو فصل گذشته برای مدل‌سازی طوفان‌های گردوغبار، به‌طور نسبی کاهش پیدا کرده است. با اعمال یک فصل گذشته، مقدار

جدول ۳ نمایانگر نتایج پیش‌بینی طوفان‌های گردوغبار در دوره زمانی ۴۰ ساله ($۱۹۸۰-۲۰۲۰$) در استان کرمانشاه است. با بررسی نتایج مدل‌سازی شاخص FDSD با DL می‌توان نتیجه گرفت که در این روش نیز مانند روش قبلی در همه ایستگاه‌های مورد بررسی، نتایج مدل‌سازی این طوفان‌ها با به کارگیری یک یا دو فصل قبلی بهبود یافته و با به کارگیری

عمیق، به دلیل توانایی قابل توجه در استخراج ویژگی‌های پیچیده و شناسایی الگوهای نهفته در داده‌های حجمی، ابزاری قدرتمند برای مدل‌سازی پدیده‌های غیرخطی و پیچیده نظری طوفان‌های گردوغبار محسوب می‌شوند. با این حال، این مدل‌ها به دلیل نیاز به منابع محاسباتی پیشرفته و زمان آموزش طولانی، عموماً با هزینه‌های اجرایی بالا همراهند. در مقابل، شبکه‌های عصبی کانولوشن، که ساختار آن‌ها برای مدل‌سازی داده‌های سری زمانی بهینه شده است، گزینه‌ای مؤثرتر و مقرون به صرفه‌تر برای تحلیل این پدیده‌ها ارائه می‌دهند. انتخاب میان این دو مدل باید براساس تعادل میان دقت مورد نیاز، هزینه‌های اجرایی و محدودیت‌های زمانی و محاسباتی صورت گیرد. از سوی دیگر، اختلاف نتایج مدل‌ها در سطح اطمینان ۹۵ و ۹۹ درصد معنادار است. با وجود فاصله قابل توجه در نتایج مدل‌سازی طوفان‌های گردوغبار با استفاده از دو مدل یادگیری عمیق و شبکه عصبی کانولوشن، و برای دستیابی به نتایج دقیق‌تر و افزایش بازدهی مدل‌سازی، می‌توان از مدل DL استفاده کرد. مقایسه میانگین مقادیر مشاهده شده و پیش‌بینی شده با استفاده از آزمون t ، نمایانگر قبول فرض صفر مبتنی بر برابری میانگین سری‌های زمانی مشاهداتی و پیش‌بینی شده شاخص فراوانی روزهای همراه با طوفان گردوغبار در استان کرمانشاه است (جدول ۴). بدین ترتیب می‌توان نتیجه گرفت که هر دو مدل یادگیری عمیق و CNN، میانگین سری زمانی مشاهداتی را برای پیش‌بینی شاخص FDSD حفظ کرده‌اند.

RMSE به ۰/۲۱۱ و ۰/۲۰۸ روز کاهش یافته است. لذا می‌توان نتیجه گرفت که استفاده از یک فصل گذشته برای پیش‌بینی شاخص FDSD در فصول آتی بهترین نتایج را ارائه می‌دهد. با توجه به اینکه در جدول ۳، ترتیب ایستگاه‌ها با توجه به شاخص FDSD از ایستگاه قصر شیرین تا کنگاور نزولی است، می‌توان نتیجه گرفت که عملکرد و دقت DL برای مدل‌سازی طوفان‌های گردوغبار با افزایش تعداد روزهای همراه با طوفان گردوغبار رابطه مستقیمی دارد. به عبارت دیگر، افزایش شاخص FDSD سبب بهبود نتایج مدل‌سازی می‌شود. همان‌طور که در این جدول مشهود است، مقدار خطأ در همه ایستگاه‌های مورد مطالعه به ازای تمامی ترکیب‌ها، نسبت به الگوریتم شبکه عصبی کانولوشن، تغییر محسوسی داشته است. همچنین ضرایب همبستگی و نش ساتکلیف نیز نسبت به نتایج مدل‌سازی با CNN، به صورت قابل ملاحظه‌ای افزایش یافته است. برای مثال در ایستگاه سرارود، مقدار MAE و RMSE در مرحله آزمون در ترکیب فصلی شماره چهار، از ۰/۳۶۱ و ۰/۳۱۴ در روش DL، به ۰/۲۰۴ و ۰/۱۹۱ در روش CNN کاهش یافته است. بدین ترتیب می‌توان نتیجه گرفت که دقت روش DL در مدل‌سازی طوفان‌های گردوغبار از CNN بیشتر است. نتایج این بخش با نتایج الشماری^۱ و همکاران (۲۰۲۲) و باندارا^۲ و همکاران (۲۰۲۲) مطابقت دارد. هزینه و پیچیدگی مدل‌سازی طوفان‌های گردوغبار به‌طور مستقیم با انتخاب مدل یادگیری مرتبط است. مدل‌های یادگیری

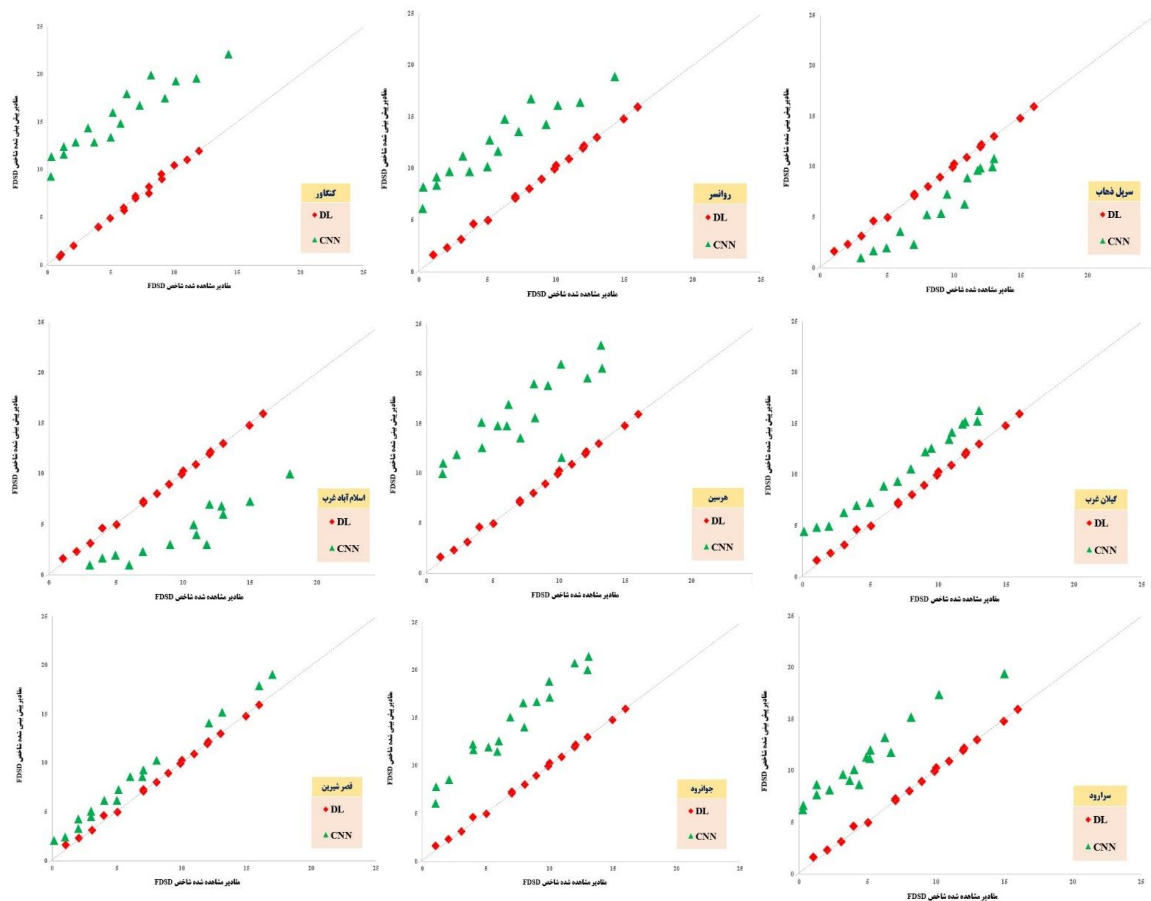
جدول (۴): آزمون مقایسه میانگین سری زمانی مشاهداتی و پیش‌بینی شده شاخص FDSD

Table (4): Comparison of the average measured and predicated time series of FDSD index

آماره t		میانگین			مشاهداتی
CNN	DL	CNN	DL	مشاهداتی	
۱/۷۹۴	۲/۳۳۵	۰/۷۹۶	۰/۹۵۶	۰/۹۷۴	قصر شیرین
۱/۷۵۶	۲/۳۲۱	۰/۷۸۴	۰/۹۳۹	۰/۹۴۷	گیلان غرب
۱/۷۴۳	۲/۲۲۵	۰/۷۷۳	۰/۹۲۸	۰/۹۳۲	سرپل ذهاب
۱/۷۲۳	۲/۲۲۱	۰/۷۶۴	۰/۹۱۹	۰/۹۲۳	اسلام‌آباد غرب
۱/۶۹۵	۲/۱۹۷	۰/۷۵۷	۰/۹۱۲	۰/۹۱۴	چوانرود
۱/۶۸۵	۲/۱۵۶	۰/۷۴۷	۰/۹۰۴	۰/۹۰۷	سرارود
۱/۶۷۳	۲/۱۲۴	۰/۷۳۶	۰/۸۹۹	۰/۹۰۲	روانسر
۱/۶۲۶	۲/۱۱۷	۰/۷۲۵	۰/۸۹۳	۰/۸۹۴	هرسین
۱/۶۱۷	۲/۰۵۶	۰/۷۱۴	۰/۸۸۲	۰/۸۸۵	کنگاور

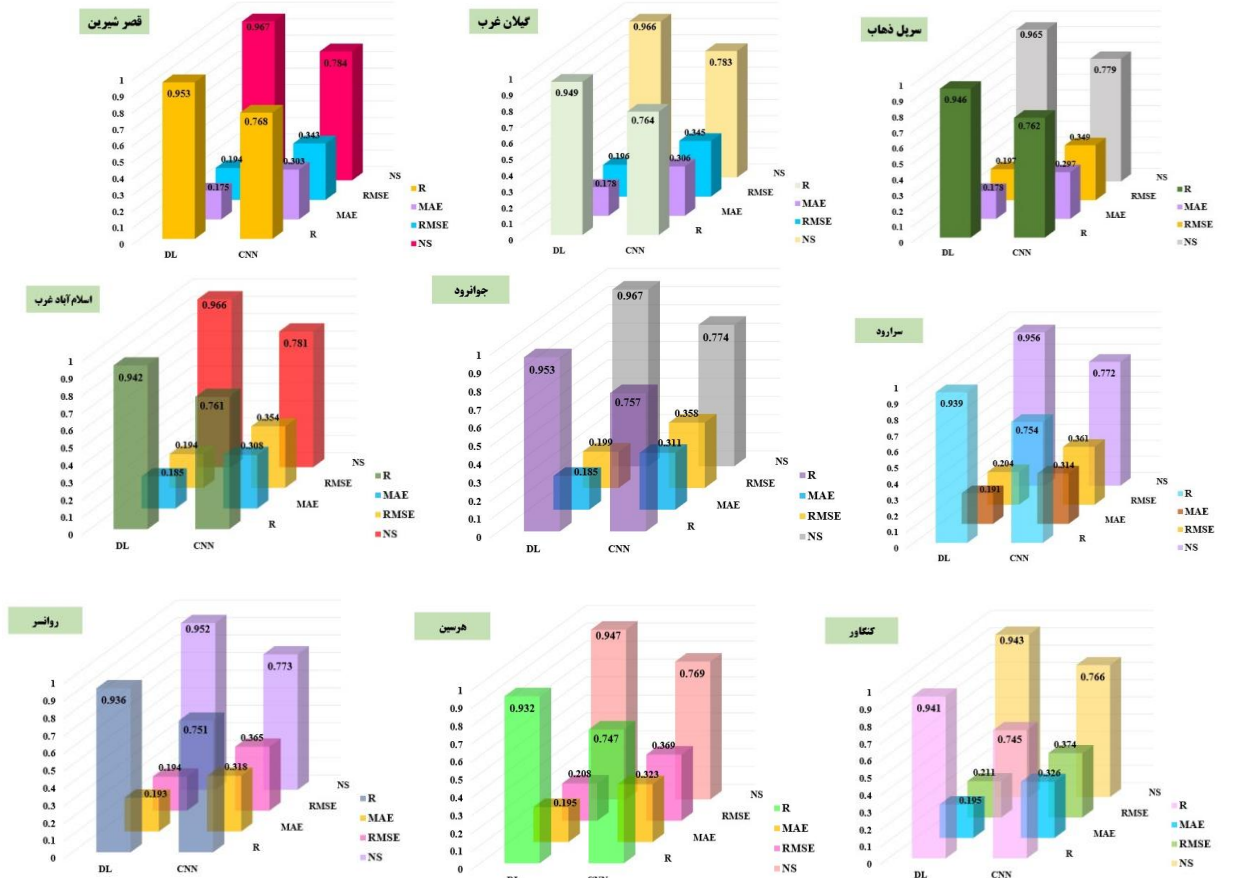
$x = y$) دارد. همان‌طور که در شکل ۲ مشخص است، با کاهش تعداد روزهای همراه با طوفان گردوغبار در ایستگاه‌های مورد بررسی، مطابقت موجود میان مقادیر مشاهده شده و پیش‌بینی شده کاهش می‌یابد. نتایج این قسمت با مطالعات انصاری قوچقار و همکاران (۲۰۲۱)، گودی و میدلتون (۲۰۰۶) و خسروی و همکاران (۲۰۲۰) مطابقت دارد.

شکل ۲ مقادیر مشاهده شده و پیش‌بینی شده شاخص فراوانی روزهای همراه با طوفان گردوغبار را برای داده‌های ارزیابی مدل نشان می‌دهد. روند مدل‌سازی طوفان‌های گردوغبار در همه ایستگاه‌ها، با به کارگیری مدل‌های یادگیری عمیق بهبود می‌یابد. بدین ترتیب در تمامی ایستگاه‌های مورد بررسی، مدل DL، بیشترین تطابق را با نیمساز ربع اول (خط



شکل (۲): مقایسه مقادیر مشاهده شده و پیش‌بینی شده شاخص FDSD در استان کرمانشاه

Figure (2): Comparison of observed and predicted values of FDSD index in Kermanshah Province



شکل (۳): مقایسه شاخص‌های ارزیابی مدل بهینه برای مدل‌سازی طوفان‌های گردوغبار

Figure (3): Comparison of Evaluation Indices for Optimal Model Selection in Dust Storm Modeling

نظیر شبکه‌های عصبی مصنوعی عمیق، به دلیل توانایی بالای خود در شناسایی الگوهای و ساختارهای پنهان در داده‌های وسیع، از سایر روش‌ها تمایز می‌شوند. در این شبکه‌ها، هر لایه، مفهومی را یاد می‌گیرد که در لایه‌های بعدی اصلاح و گسترش می‌یابد و این فرایند به تدریج مفاهیم ابتدایی را به مفاهیم انتزاعی پیچیده‌تر تبدیل می‌کند. در این راستا، هدف از انجام این پژوهش، مقایسه عملکرد مدل‌های یادگیری عمیق و شبکه عصبی کانولوشن به منظور مدل‌سازی طوفان‌های گردوغبار در نه ایستگاه هواشناسی استان کرمانشاه (قصر شیرین، گیلان غرب، سرپل ذهاب، اسلام‌آباد غرب، جوانرود، سارود، روانسر، هرسین و کنگاور)، در طول دوره آماری ۴۰ ساله (۱۹۸۱-۲۰۲۰) بود. نتایج نشان داد که ترکیب فصلی شماره یک در نتیجه پیش‌بینی شاخص FDSD با مدل‌های یادگیری عمیق و شبکه عصبی کانولوشن، به عنوان ترکیب بهینه انتخاب شده است. همچنین، هر دو مدل از دقت و عملکرد قابل قبولی در

۴. نتیجه‌گیری

مدل‌سازی طوفان‌های گردوغبار به مدیران و سیاست‌گذاران کمک می‌کند تا با اعمال تدبیر پیشگیرانه، مانند هشدارهای موقع و تخصیص منابع، از اثرات منفی آن‌ها بکاهند. با توجه به پیچیدگی و عدم قطعیت‌های موجود در این طوفان‌ها، استفاده از مدل‌سازی دقیق برای پیش‌بینی و کاهش ریسک‌های ناشی از آن‌ها ضروری است. این پدیده تأثیرات گستره‌های بر سلامت انسان، کشاورزی، زیرساخت‌ها، کیفیت زندگی و تعادل اکوسیستم‌های طبیعی بر جای می‌گذارد. لذا مقابله با این چالش نیازمند بهره‌گیری از رویکردهای جامع و چندبعدی است. شبکه‌های عصبی مصنوعی سنتی در تحلیل شبکه‌های پیچیده با چالش‌هایی مانند کاهش سرعت یادگیری مواجه بودند. این مشکل در سال ۱۹۹۵ با پیشنهاد Bengio مبنی بر استفاده از شبکه‌های عصبی کانولوشن که قادر به شناسایی ارتباطات محلی بین لایه‌های است، برطرف شد. مدل‌های یادگیری عمیق،

برنامه ریزی منطقه‌ای به کار رود. علاوه بر این، نتایج حاصل از مدل‌سازی می‌توانند در طراحی و توسعه سیستم‌های هشدار زودهنگام نقش مهمی داشته باشند و با اطلاع‌رسانی موقعیت به جوامع، اقدامات پیشگیرانه و واکنش سریع را تسهیل کنند. این ابزارها همچنین بستری مناسب برای تدوین سیاست‌های کارآمد در حوزه مدیریت محیط‌زیست، ارتقای تابآوری جوامع در برابر مخاطرات طبیعی و سازگاری بهتر با تغییرات اقلیمی فراهم می‌کنند. از این‌رو، بهره‌گیری از این رویکرد در کاهش مخاطرات گردوبغار و ارتقای کیفیت زندگی در مناطق آسیب‌پذیر از اهمیت بالایی برخوردار است.

شبیه‌سازی فرایانی روزهای همراه با طوفان‌های گردوبغار برخوردارند. در این بین نیز، مدل DL با بیشترین مقدار ضرایب همبستگی و NS و کمترین مقدار معیارهای برآورد خطای MAE و RMSE، نسبت به مدل CNN، به عنوان مدل بهینه برای مدل‌سازی طوفان‌های گردوبغار در استان کرمانشاه انتخاب شده است. این فناوری پیشرفت‌هه امکان پیش‌بینی دقیق‌تر زمان، شدت، و مسیر طوفان‌های گردوبغار را فراهم می‌آورد و نقشی اساسی در کاهش خسارات انسانی، اقتصادی و زیست‌محیطی ایفا می‌کند. همچنین، نتایج این مدل‌ها می‌تواند به عنوان ابزاری کارآمد در مدیریت منابع طبیعی، از جمله آب، خاک و پوشش گیاهی، به منظور کاهش اثرات مخرب طوفان‌ها و بهبود

References

- Albawi, S., Mohammed, T. A., & Al-Zawi, S. (2017). Understanding of a convolutional neural network. *Proceedings of 2017 International Conference on Engineering and Technology (ICET)*, 1-6. IEEE.
- Alshammari, R. K., Alrwais, O., & Aksoy, M. S. (2022). Machine learning applications to dust storms: A meta-analysis. *Aerosol and Air Quality Research*, 22(12), 220183.
- Alzubaidi, L., Zhang, J., Humaidi, A. J., Al-Dujaili, A., Duan, Y., Al-Shamma, O., Santamaría, J., Fadhel, M. A., Al-Amidie, M., & Farhan, L. (2021). Review of deep learning: Concepts, CNN architectures, challenges, applications, future directions. *Journal of Big Data*, 8, 53.
- Ansari Ghoghar, M., Irani Nejad, S., Bezarafshan, J., Zahraei, B., & Parsi, E. (2021). Evaluation of the performance of the GRU-LSTM hybrid model in dust storm prediction (Case study: Khuzestan province). *Iranian Journal of Water Resources Research*, 17(1), 16-32. [In persian]
- Arjomandi, H. R., Kheir Ali Pour, K., & Ammarlouei, A. (2024). Prediction of dust concentration in a laboratory scale using image processing and artificial intelligence technologies. *Research in Agricultural Machinery Engineering*, 13(2), 1-9. <https://doi.org/10.22034/jrmam.2024.14177.642>
- Bandara, N. S. (2022, September). Ensemble deep learning for automated dust storm detection using satellite images. In *2022 International Research Conference on Smart Computing and Systems Engineering (SCSE)* (Vol. 5, pp. 178-183). IEEE.
- Basalat Pour, A. A., Ramazani, Z., & Hosseini, H. (2013). Modeling and determining the parameters affecting dust storm formation in Rafsanjan County using support vector machines. In *Proceedings of the Third National Conference on Wind Erosion and Dust Storms*, Yazd, Iran. [In persian]
- Bengio, Y., Simard, P., & Frasconi, P. (1995). Learning long-term dependencies with gradient descent is difficult. *IEEE Transactions on Neural Networks*, 5(2), 157-166.
- Boulanger, M., Nunes, J. C., Chourak, H., Largent, A., Tahri, S., Acosta, O., ... & Barateau, A. (2021). Deep learning methods to generate synthetic CT from MRI in radiotherapy: A literature review. *Physica Medica*, 89, 265-281.
- Du, S., Li, T., Yang, Y., & Horng, S.-J. (2019). Deep air quality forecasting using hybrid deep learning framework. *IEEE Transactions on Knowledge and Data Engineering*, 33, 2412-2424.
- Fan, W., Zhang, Q., Wu, Y., & Shi, Z. (2020). Review of convolutional neural network-based action recognition. *Pattern Recognition Letters*, 140, 1-10.
- Goudie, A. S., & Middleton, N. J. (2006). *Desert dust in the global system*. Springer Science & Business Media.
- Khosravi, M., Haghshenas, S. S., & Bahadori, M. (2020). Spatial analysis using convolutional neural networks. *Journal of Machine Learning Applications*, 12(4), 45-56. [In persian]
- Krizhevsky, A., Sutskever, I., & Hinton, G. E. (2012). ImageNet classification with deep convolutional neural networks. *Communications of the ACM*, 60, 84-90.
- LeCun, Y., Bengio, Y., & Hinton, G. (2015). Deep learning. *Nature*, 521(7553), 436-444.
- LeCun, Y., Boser, B. E., Denker, J. S., Henderson, D., Howard, R. E., Hubbard, W. E., & Jackel, L. D. (1989). Backpropagation applied to handwritten zip code recognition. *Neural Computation*, 1, 541-551.

17. Liao, Q., Zhu, M., Wu, L., Pan, X., Tang, X., & Wang, Z. (2020). Deep learning for air quality forecasts: A review. *Current Pollution Reports*, 6, 399-409.
18. Lu, Y., Zheng, C., Zhang, Q., & Xie, Y. (2017). Deep learning for image classification: A review. *Computer Vision and Pattern Recognition Journal*, 56(3), 12-24.
19. Nair, V., Radhakrishnan, A., Chithra, R., & James, A. (2023). Memristive pixel-CNN loop generate for CNN generalisations. *IEEE Transactions on Nanotechnology*, 22, 120-125.
20. O'Loingsigh, T., McCains, G. H., Tews, E. K., Strong, C. L., Leys, J. F., Shinkfield, P., & Tapper, N. J. (2014). The Dust Storm Index (DSI): a method for monitoring broadscale wind erosion using meteorological records. *Aeolian Research*, 12, 29-40.
21. Omidvar, K., Dehghan, M., & Khosravi, Y. (2022). Assessment of relationship between aerosol optical depth (AOD) index, wind speed, and visibility in dust storms using genetic algorithm in central Iran (case study: Yazd Province). *Air Quality, Atmosphere & Health*, 15(10), 1745-1753.
22. Pourmaafi Esfahani, E., Almodarresi, S. A., Mousavi Sanjarei, M., & Haqparast, H. (2023). Assessment of dust emission using artificial neural network model in Kashan County. *Environmental Sciences Quarterly*, 21(2), 69-80. <https://doi.org/10.48308/envs.2023.1177>. [In persian]
23. Rusk, N. (2016). Deep learning. *Nature Methods*, 13(1), 35-35.
24. Shi, X., Chen, Z., Wang, H., Yeung, D. Y., Wong, W. K., & Woo, W. C. (2015). Convolutional LSTM network: A machine learning approach for precipitation nowcasting. *Advances in Neural Information Processing Systems*, 28.
25. Sobhani, B., Safarian Zangir, V., & Feizollahzadeh, S. (2020). Dust modeling and prediction in western Iran. *Journal of Natural Geography Research*, 52(1), 17-35. [In persian]
26. Yarmohamadi, M., Alesheikh, A. A., Sharif, M., & Vahidi, H. (2023). Predicting dust-storm transport pathways using a convolutional neural network and geographic context for impact adaptation and mitigation in urban areas. *Remote Sensing*, 15(9), 2468.

A Comparative Analysis of the Performance of Deep Learning Models and Convolutional Neural Networks for Dust Storm Modeling (Case Study: Kermanshah Province)

Mohammad Ansari Ghojghar¹

Received: 09/01/2025

Accepted: 27/04/2024

Extended abstract

Introduction: Understanding the factors contributing to the occurrence of dust storms, along with awareness of their timing and location, is crucial for managing and mitigating the damage they cause. However, limitations such as scarce resources, high costs, and the time needed for monitoring and analysis often impede effective management. Consequently, the application of deep learning models, artificial intelligence algorithms, and neural networks represents a significant advancement towards the forecasting and integrated management of this destructive climatic phenomenon. This study investigates the results of dust storm modeling using deep learning models and convolutional neural networks across nine synoptic meteorological stations in Kermanshah Province (Qasr-e Shirin, Gilan-e Gharb, Sarpol-e Zahab, Eslamabad-e Gharb, Javanrud, Sararud, Ravansar, Harsin, and Kangavar) over a 40-year statistical period (1981–2020). In this context, two computational models—deep learning and convolutional neural networks—were developed and their performance in predicting the FDSD index was compared. While most studies have focused on modeling the frequency index of dust storms using machine learning models, deep learning approaches have been less commonly utilized. Convolutional Neural

1. Assistant Professor, Department of Rehabilitation of arid and mountainous regions Engineering, Faculty of Natural Resources, University of Tehran, Karaj, Iran Ansari.ghojghar@ut.ac.ir

Networks, typically employed for image processing and modeling, have been adapted in this research to model dust storms. Furthermore, their performance has been benchmarked against a deep learning model. Accordingly, this research aims to address existing challenges and gaps by examining the performance of deep learning models and Convolutional Neural Networks in dust storm modeling.

Materials and Methods: This study investigates the performance of deep learning models and convolutional neural networks in modeling dust storms across nine meteorological stations in Kermanshah Province (Qasr-e Shirin, Gilan-e Gharb, Sarpol-e Zahab, Eslamabad-e Gharb, Javanrud, Sararud, Ravansar, Harsin, and Kangavar) over a 40-year statistical period (1981–2020). For this purpose, hourly horizontal visibility data and the World Meteorological Organization (WMO) present weather codes were utilized. Meteorological phenomena observations are recorded every three hours, totaling eight synoptic reports per day. In these observations, visual weather phenomena are defined according to the WMO's guidelines using 100 codes ranging from 00 to 99. From these 100 codes, 11 specific codes are commonly used to record and report dust storm events at various meteorological stations. Following the WMO definition, a dust storm day is defined as a day when at least one of the eight synoptic reports includes one of the dust-related codes (06, 07, 08, 09, 30, 31, 32, 33, 34, 35, or 98) in the present weather report, provided that the corresponding horizontal visibility is recorded as less than 1000 meters. In this study, a horizontal visibility of less than 1000 meters was consistently used as the criterion for identifying dust storms for all dust-related codes. This approach ensures the accurate detection and classification of dust storm events throughout the study period.

Results and Discussion: The evaluation metrics R (Pearson correlation coefficient), RMSE (Root Mean Square Error), NS (Nash-Sutcliffe efficiency coefficient), and MAE (Mean Absolute Error) were used to assess and compare the performance of the deep learning model and the convolutional neural network algorithm for dust storm modeling in Kermanshah Province over a 40-year statistical period (1980–2020). The findings from dust storm modeling indicate that at Qasr-e Shirin station, which records the highest seasonal frequency of dust storm days, and Kangavar station, characterized by the lowest seasonal frequency, a clear trend emerges: as the frequency of dusty days' decreases across the studied stations—from Qasr-e Shirin to Kangavar—the accuracy of FDSD index modeling significantly improves. The results reveal statistically significant differences between the models at the 95% and 99% confidence levels. While substantial discrepancies are observed between the outputs of the deep learning (DL) model and the convolutional neural network (CNN), the DL model proves to be the more reliable choice for achieving higher accuracy and enhancing modeling efficiency. Additionally, a t-test comparison of the observed and predicted mean values supports the null hypothesis, validating the equivalence of the observed and predicted time series means for the frequency of dust storm days in Kermanshah Province.

Conclusion: Deep learning models, such as deep artificial neural networks, stand out from other methods due to their superior ability to identify patterns and hidden structures within large datasets. In these networks, each layer learns a concept that is refined and expanded upon in subsequent layers, progressively transforming basic concepts into more complex abstract ones. This study aimed to compare the performance of deep learning models and convolutional neural networks for modeling dust storms at nine meteorological stations in Kermanshah Province (Qasr-e Shirin, Gilan-e Gharb, Sarpol-e Zahab, Eslamabad-e Gharb, Javanrud, Sararud, Ravansar, Harsin, and Kangavar) over a 40-year statistical period. The results indicated that the first seasonal combination was selected as the optimal configuration for predicting the FDSD index using both deep learning and CNN models. Both models demonstrated acceptable accuracy and performance in simulating the frequency of dust storm days. However, the DL model, exhibiting higher correlation coefficients and NS values, along with lower RMSE and MAE error estimation metrics, was identified as the optimal model for dust storm modeling in Kermanshah Province. This advanced technology enables more accurate predictions of the timing, intensity, and path of dust storms, playing a fundamental role in reducing human, economic, and environmental damages. Furthermore, the results from these models can serve as an efficient tool in natural resource management—including water, soil, and vegetation—to mitigate the destructive impacts of storms and improve regional planning.

Keywords: Forecasting, meta-exploration algorithms, dust storms, DL, FDSD index.